



This is a digital copy of a book that was preserved for generations on library shelves before it was carefully scanned by Google as part of a project to make the world's books discoverable online.

It has survived long enough for the copyright to expire and the book to enter the public domain. A public domain book is one that was never subject to copyright or whose legal copyright term has expired. Whether a book is in the public domain may vary country to country. Public domain books are our gateways to the past, representing a wealth of history, culture and knowledge that's often difficult to discover.

Marks, notations and other marginalia present in the original volume will appear in this file - a reminder of this book's long journey from the publisher to a library and finally to you.

### Usage guidelines

Google is proud to partner with libraries to digitize public domain materials and make them widely accessible. Public domain books belong to the public and we are merely their custodians. Nevertheless, this work is expensive, so in order to keep providing this resource, we have taken steps to prevent abuse by commercial parties, including placing technical restrictions on automated querying.

We also ask that you:

- + *Make non-commercial use of the files* We designed Google Book Search for use by individuals, and we request that you use these files for personal, non-commercial purposes.
- + *Refrain from automated querying* Do not send automated queries of any sort to Google's system: If you are conducting research on machine translation, optical character recognition or other areas where access to a large amount of text is helpful, please contact us. We encourage the use of public domain materials for these purposes and may be able to help.
- + *Maintain attribution* The Google "watermark" you see on each file is essential for informing people about this project and helping them find additional materials through Google Book Search. Please do not remove it.
- + *Keep it legal* Whatever your use, remember that you are responsible for ensuring that what you are doing is legal. Do not assume that just because we believe a book is in the public domain for users in the United States, that the work is also in the public domain for users in other countries. Whether a book is still in copyright varies from country to country, and we can't offer guidance on whether any specific use of any specific book is allowed. Please do not assume that a book's appearance in Google Book Search means it can be used in any manner anywhere in the world. Copyright infringement liability can be quite severe.

### About Google Book Search

Google's mission is to organize the world's information and to make it universally accessible and useful. Google Book Search helps readers discover the world's books while helping authors and publishers reach new audiences. You can search through the full text of this book on the web at <http://books.google.com/>

QD  
561  
A2

UC-NRLF



\$B 34 911

YC 21457

LIBRARY  
OF THE  
UNIVERSITY OF CALIFORNIA.

GIFT OF

Basel Univ

Class

# ÜBER DIE GESCHWINDIGKEIT DER ELEKTRO- LYTISCHEN ZERSETZUNG VON OXALSÄURE BEI GEGENWART VON SCHWEFELSÄURE.

EIN BEITRAG ZUM STUDIUM DER ELEKTROLYTISCHEN REAKTIONS-  
GESCHWINDIGKEIT BEI EINEM SEKUNDÄREN PROZESSE.

---

## INAUGURAL-DISSERTATION

ZUR

ERLANGUNG DER PHILOSOPHISCHEN DOKTORWÜRDE

VORGELEGT

DER

HOHEN PHILOSOPHISCHEN FAKULTÄT

DER

UNIVERSITÄT BASEL

VON

**TEODOR ÅKERBERG**

AUS FALUN (SCHWEDEN).

---

LEIPZIG

DRUCK VON METZGER & WITTIG

1902.

QD561  
A2

Die vorliegende Arbeit wurde im Wintersemester 1900/1901 im elektrochemischen Laboratorium des eidgenössischen Polytechnikums in Zürich ausgeführt.

Meinem hochverehrten Lehrer, Herrn

Prof. Dr. **Richard Lorenz,**

spreche ich hiermit für die Anregung und vielfache Unterstützung, die er mir im Verlaufe dieser Arbeit zu teil werden liefs, meinen aufrichtigsten Dank aus.

An dieser Stelle sei es mir gleichzeitig gestattet, Herrn

Prof. Dr. **W. A. Kahlbaum**

für die Mühe, die er auf die Durchsicht dieser Arbeit verwandte, und für die mir dabei erteilten Ratschläge meinen herzlichsten Dank auszusprechen.

Basel, Januar 1902.

**MEINEM LIEBEN VATER**

**IN DANKBARKEIT GEWIDMET.**



### Einleitung.

Es sind schon früher verschiedene Untersuchungen auf dem Gebiete der elektrochemischen Reaktionsgeschwindigkeit vorgenommen worden. GOLDSCHMIDT<sup>1</sup> und HABER<sup>2</sup> haben die Geschwindigkeit der Einwirkung von Wasserstoff und Sauerstoff auf Nichtelektrolyten untersucht, ebenso haben SCHRADER<sup>3</sup> und SAND<sup>4</sup> die Abscheidung von Wasserstoff und Kupfer bei der Elektrolyse von Kupfersulfat genau studiert. Weiter hat SIEGRIST<sup>5</sup> im hiesigen Laboratorium eine Arbeit ausgeführt, die die Abscheidung von Kupfer aus einer Mischung von bestleitender Schwefelsäure und Kupfersulfat zum Gegenstand hatte. Dabei hat er gefunden, daß der Verlauf nach der allgemeinen Formel

$$\frac{dx}{dt} = k(a-x)^n$$

stattfindet. Ist die Lösung konzentriert, so wird  $n$  gleich Null und es wird das FARADAY'sche Gesetz erreicht, indem die Konstante  $k$  allmählich in die Konstante des FARADAY'schen Gesetzes  $k'$  übergeht, also:

$$\frac{dx}{dt} = k'.$$

---

<sup>1</sup> GOLDSCHMIDT, Die Reaktionsgeschwindigkeit bei elektrolytischen Reduktionen, *Zeitschr. Elektrochem.* 7, 263.

<sup>2</sup> HABER, Über die elektr. Reduktion von Nichtelektrolyten, *Zeitschr. phys. Chem.* 32, 193.

<sup>3</sup> ANTON SCHRADER, Über die Elektrolyse von Gemischen, *Zeitschr. Elektrochem.* 3, 489.

<sup>4</sup> H. J. S. SAND, Über die Konzentration an den Elektroden in einer Lösung mit besonderer Berücksichtigung der Wasserstoffentwicklung durch Elektrolyse einer Mischung von Kupfersulfat und Schwefelsäure, *Zeitschr. phys. Chem.* 35, 641.

<sup>5</sup> Jos. SIEGRIST, Über die Geschwindigkeit der elektrolytischen Abscheidung von Kupfer bei Gegenwart von Schwefelsäure, *Z. anorg. Chem.* 26, 273.



Beginnt durch Verdünnung von Kupfersulfat sich Wasserstoff auszuschcheiden, so nimmt  $n$  alle möglichen Werte zwischen 0 und 1 an, bis bei einer gewissen Verdünnung die Reaktion in ihrem ganzen Verlaufe monomolekular<sup>1</sup> wird und sich also durch folgende Formel:

$$\frac{dx}{dt} = k(a-x)$$

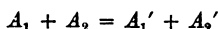
ausdrücken läßt.

Was die Beschaffenheit der Konstante betrifft, so hat er gefunden, daß die absolute GröÙe derselben in hohem Maße durch die Geschwindigkeit des Rührers beeinflusst wird.

<sup>1</sup> Die Begriffe „mono-, bi- u. s. w. molekulare Reaktion“ kommen in der chemischen Dynamik vor. Die Definitionen lassen sich nach NERNST, Theoretische Chemie, Kapitel V, Chemische Kinetik, folgendermaßen geben.

Die Hypothese von GULDBERG und WAAGE, wonach der totale Fortschritt einer in einem homologen System verlaufenden Reaktion gegeben ist durch die Differenz der beiden Geschwindigkeiten, mit welchen der Umsatz im Sinne der Reaktionsgleichung von links nach rechts und umgekehrt sich vollzieht, enthält das Grundgesetz der chemischen Kinetik.

Findet also eine homogene Reaktion nach dem einfachen Schema:



statt, und  $c_1$  und  $c_2$ ,  $c_1'$  und  $c_2'$  die Konzentration der vier reagierenden Molekülgattungen  $A_1$ ,  $A_2$ ,  $A_1'$ ,  $A_2'$ , bedeutet ferner  $d c_1$  die Abnahme welche  $c_1$ , in dem Zeitmoment  $d t$  erfährt, wo dann natürlich diejenige von  $c_2$  ebenso groß ist, so wird die Reaktionsgeschwindigkeit in jedem Augenblicke

$$\frac{d c_1}{d t} = k c_1 c_2 - k' c_1' c_2',$$

worin  $k$  und  $k'$  die Geschwindigkeitskoeffizienten der beiden entgegengesetzten Reaktionen bedeuten; beteiligt sich ein Stoff mit  $n$ -Molekülen anstatt mit einem so tritt natürlich  $c^n$  anstatt  $c$  in die Gleichung ein.

Es sei nun zur Zeit  $t = 0$  die Konzentration der vier Substanzen  $a_1, a_2, a_1', a_2'$  und es habe sich zur Zeit die Menge  $x g$ -Molekel der Substanz  $a_1$  und demgemäß auch  $a_2$  umgesetzt, dann wird obige Gleichung:

$$\frac{d x}{d t} = k(a_1 - x)(a_2 - x) - k'(a_1' + x)(a_2' + x).$$

Ist nur eine Molekülgattung vorhanden, wird die Reaktion nach dem Vorgange von VAN'T HOFF monomolekular (unimolekular) genannt, ihr Verlauf erfolgt also stets der Differentialgleichung:

$$\frac{d x}{d t} = k(a - x).$$

Analog werden Reaktionen, durch deren Fortschritt die Konzentration von  $n$ -Molekulargattungen geändert wird als  $n$ -Molekulare bezeichnet.

Weiter ist  $k$  von der Stromstärke abhängig nach einer Funktion, die sich sehr einer linearen nähert. Auch ändert sich  $k$  ungefähr proportionell mit dem Steigen der Temperatur zwischen 20—40° C.

Die SIEGRIST'schen Versuche lassen sich durch folgende Kurve darstellen. Das  $x$  bedeutet die ausgefallten Mengen Kupfer; sie sind als Funktionen der Zeit  $t$  aufgezeichnet. Die Linie  $mn$  ist FARADAY's Gesetz und  $kl$  ist der monomolekulare Teil der Kurve.

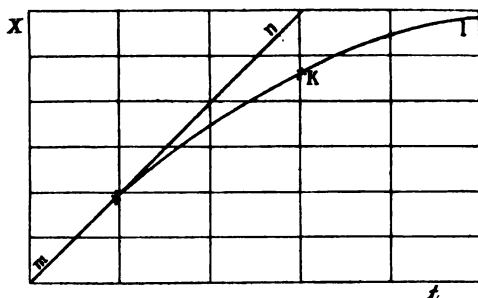


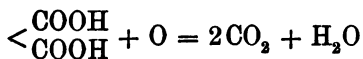
Fig. 1.

Nachdem auf diese Weise durch SIEGRIST die Thatsache festgestellt war, daß bei der Elektrolyse von Mischungen von  $\text{H}_2\text{SO}_4$  und  $\text{CuSO}_4$  mit konstanter Stromstärke (bei gleichzeitiger kräftiger Bewegung des Elektrolyten) ein allmählicher Übergang der in der Zeiteinheit ausgefallten Menge Kupfer in das Schema einer gewöhnlichen monomolekularen Reaktion stattfindet, lag es nahe, zu untersuchen, ob dieser Kurvenverlauf eine spezielle Eigentümlichkeit der sauren Kupferlösung ist, oder ob er im allgemeinen auch bei anderen Elektrolyten unter gleichen oder ähnlichen Bedingungen stattfindet.

Herr Professor LORENZ stellte mir daher die Aufgabe, die Erscheinung der elektrolytischen Reaktionsgeschwindigkeit an der Zerlegung von sauren Oxalsäurelösungen zu studieren. Die Oxalsäure wurde hierzu aus dem besonderen Grunde gewählt, weil hier eine sekundäre Reaktion zu erwarten war. Bei der Elektrolyse von Mischungen von  $\text{H}_2\text{SO}_4$  und  $\text{CuSO}_4$  wird sowohl der Wasserstoff als das gleichzeitig sich abscheidende Kupfer primär durch Entladung von  $\text{H}^+$ - und  $\text{Cu}^{++}$ -Ionen gebildet. Es ist bei dieser Reaktion zwar auch eine sekundäre Bildung von Kupfer an der Elektrode nach der Gleichung  $\text{CuSO}_4 + \text{H}_2 = \text{H}_2\text{SO}_4 + \text{Cu}$  nicht völlig ausgeschlossen, jedoch ist dieselbe jedenfalls sehr gering und vielleicht

gar nicht vorhanden; insbesondere sprechen die Ergebnisse der Untersuchungen von SIEGRIST dafür, daß unter den eingehaltenen Bedingungen diese Reaktion kaum eine Rolle spielt.

Ganz andere Verhältnisse waren bei der Elektrolyse von Mischungen von Oxalsäure und Schwefelsäure zu erwarten. Hier konnte neben der primären Entladung der  $\text{OH}'$ -Ionen oder  $\text{SO}_4''$ -Ionen auch eine primäre Entladung von  $\text{<COO}''$ -Ionen erwartet werden. Jedoch mußte notwendigerweise neben dieser Reaktion unter dem katalytischen Einflusse der Elektrode auch die sekundäre Oxydation der Oxalsäure nach der Gleichung



hervortreten. Es war daher wichtig zu untersuchen, ob event. beide Arten der Bildung von  $\text{CO}_2$  (primär und sekundär) neben einander bestehen und vielleicht in gewünschter beliebiger Weise sich ablösen oder ergänzen könnten, oder ob eine der beiden Reaktionen überwiege. Es sei hier im voraus bemerkt, daß die Entladung der  $\text{<COO}''$ -Ionen bei den Versuchsbedingungen, welche in der folgenden Arbeit eingehalten sind, so gut wie gar nicht in Betracht kommt, da die Oxydation der Oxalsäure fast lediglich dem sekundären Prozesse zuzuschreiben ist.

Die Fragen, die in der vorliegenden Arbeit beantwortet werden, sind folgende:

1. Wie soll man die elektrolytische Zerlegung von Oxalsäure in einer Lösung von bestleitender Schwefelsäure nach den Gesetzen der chemischen Dynamik erklären?
2. Wie wird diese Reaktion von verschiedenen Bedingungen, namentlich durch Konzentration, Stromdichte und Temperatur beeinflusst?

## I. Die Arbeitsmethode.

### a) Der Apparat.

Der elektrolytische Trog bestand aus einem dünnwandigen Glasgefäß, so daß die Versuchsflüssigkeit rasch die konstante Temperatur des Thermostaten annehmen mußte. Das Volumen des Troges war

ca. 400 ccm. Als Anode wurde bei den Vorversuchen ein blankes Platinblech von  $50 \times 60$  mm verwendet und dieses nachher bei den eigentlichen Untersuchungen durch ein mit einer LUMMER-KURLBAUM'schen Lösung platinirtes Platinblech ersetzt. Als Kathode wurde ein blankes Platinblech von  $50 \times 25$  mm zu einem Cylinder von ungefähr 7 mm Diameter zusammengerollt. Die Kathode war dann noch in einen offenen Glaszylinder von ca. 17 mm Durchmesser hineingesteckt, wie aus der Zeichnung (Fig. 2) ersehen werden kann. Diese Einrichtung hat den Zweck, zu vermeiden, daß der entwickelte Wasserstoff auf den bei der Anode abgeschiedenen Sauerstoff einwirkt. Daß eine Einwirkung des abgeschiedenen Wasserstoffs auf die Versuchsflüssigkeit nicht stattfindet, wurde durch folgenden Versuch festgestellt. Die Anode wurde durch ein Thondiafragma von der Oxalsäure getrennt, so daß keine Oxydation stattfinden konnte. Zur Titration von 25 ccm der Oxalsäurelösung aus dem Kathodenraume wurden 45.1 ccm Chamäleonlösung verbraucht. Nach zweistündiger Elektrolyse mit 1 Amp. wurden wiederum 25 ccm titriert, wobei wieder 45.1 ccm Chamäleonlösung verbraucht wurde.

Die Elektroden waren mit ihren Stielen durch kleine Hartgummiklötzchen geführt, welche auf den Rand des Gefäßes festgeklemmt waren. Das Gefäß war auf eine Zinkplatte in dem Thermostaten montiert. Neben dem Gefäße befanden sich auf dieser Platte zwei mit Quecksilber gefüllte, unten zugeschlossene Glasröhrchen, die dazu dienten, die Leitungsdrähte mit den Elektroden, deren Stiele darin eintauchten, zu verbinden.

In der Mitte des Gefäßes war ein Wirt'scher Rührer angebracht, dessen unterer kugelförmiger Teil einen Diameter von 25 mm hatte. Dieser Rührer wurde durch einen gut laufenden Motor (von der elektrotechnischen Werkstätte in Darmstadt) mittels einer seidenen Schnur angetrieben. Bei den Versuchen war es wichtig, mit konstanter Umdrehungsgeschwindigkeit zu arbeiten, weil die Zersetzung von der Durchmischung der Flüssigkeit in hohem Maße abhängig ist, wie die Arbeiten von SAND und SIEGRIST in Bezug auf  $\text{CuSO}_4$  gezeigt haben. Deswegen wurde bei allen Versuchen eine konstante Tourenzahl von etwa 1000 Touren pro Minute eingehalten.

Der Thermostat bestand aus einem mit Wasser gefüllten, emaillierten Kessel, dessen Temperatur mit einem Toluolregulator eingestellt werden konnte. Um die Temperatur gleichmäÙig halten

zu können, ist hier auch ein Rührwerk verwendet, das durch einen einfacheren Motor in Bewegung gesetzt werden konnte. Als Heizflamme ist bei 35° C., bei welcher Temperatur die Versuche im allgemeinen ausgeführt sind, ein Bunsenbrenner, dessen oberer Teil abgeschraubt war, benutzt. Bei höheren und niedrigeren Tempera-

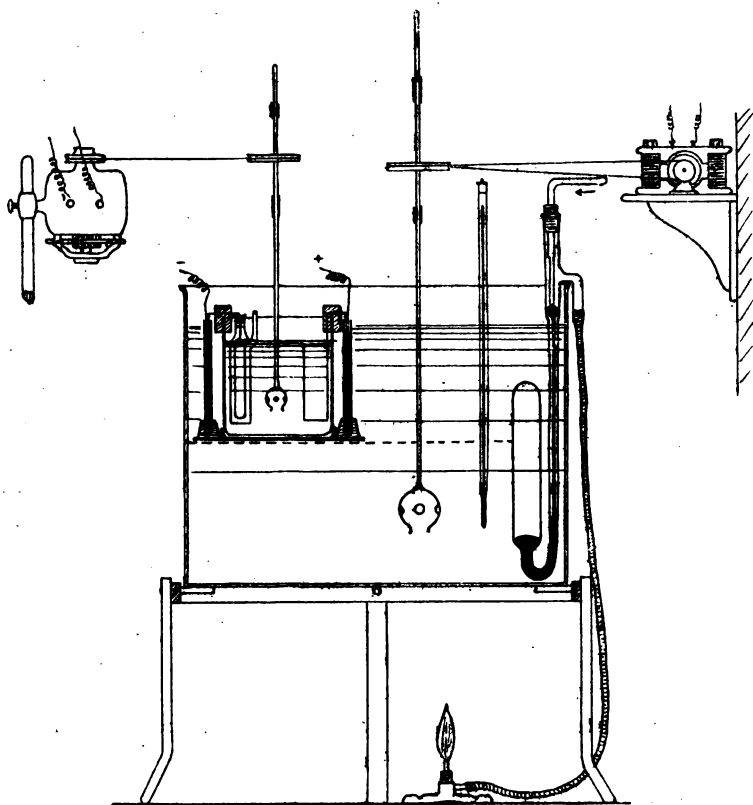


Fig. 2.

turen wurde eine andere Einrichtung getroffen, die später an den betreffenden Stellen beschrieben werden wird. Die Temperatur wurde mit einem in  $\frac{1}{10}$  Graden eingeteilten Thermometer beobachtet.

In dem Hauptstrome, den eine Akkumulatorenbatterie von 24 Volt lieferte, wurden erstens 2 Reostaten von 10 Ohm Widerstand samt einem Kurbelreostat eingeschaltet, mit welchem die Stromstärke genau reguliert werden konnte.

Die Ablesung der Stromstärke geschah an einem genauen Milli-

voltmeter, das über einen Widerstand von  $\frac{1}{10}$  bzw.  $\frac{1}{6}$  Ohm im Hauptstromkreise geschaltet war, so daß die Skala von 100 Teilen einem bzw. zwei Ampère entsprach und auf 0.01 bzw. 0.02 Amp. genau abgelesen werden konnte.

Dieses so konstruierte Ampèremeter wurde mit einem Kupfervoltmeter geprüft; dabei wurde gefunden, daß den Ablesungen ein Fehler von 0.2 % anhaftet. Von dem Ampèremeter wurde der Strom zum elektrolytischen Troge geleitet und ging von da zu den Akkumulatoren zurück.

Der Apparat wird durch Fig. 2 wiedergegeben.

### b) Ausführung der Versuche.

Zuerst wurde eine maximale Schwefelsäure bereitet, indem in ein mit Wasser gefülltes, 10 Liter fassendes Gefäß chemisch reine konz.  $\text{H}_2\text{SO}_4$  von 1.84 spez. Gew. vorsichtig hineingegossen wurde, bis die Mischung das spezifische Gewicht von 1.225 bei 15° C. angenommen hatte.

In dieser Schwefelsäure wurde reine Oxalsäure zu verschiedenen Konzentrationen aufgelöst. Der Gehalt an Oxalsäure wurde mit einer ungefähr  $\frac{1}{10}$  norm.-Kaliumpermanganatlösung geprüft, deren Titer mit Eisendraht (Blumendraht) bestimmt war. Die Berechnung der Titer ist so angenommen, als ob der Eisendraht 100.2 % Eisen enthielte.

Die Versuche sind anfangs so ausgeführt, daß der Trog mit 300 ccm der Lösung gefüllt wurde. Nach einer gewissen Zeit, z. B. 15 Minuten, wurde eine Probe entnommen und mit Chamäleonlösung titriert. Dann wurde das Gefäß entleert, wieder mit 300 ccm der Anfangskonzentration gefüllt und die Elektrolyse dieses Mal 30 Minuten fortgesetzt u. s. w. Diese Methode ist vielleicht am genauesten, hat aber den Übelstand, daß sehr viel Flüssigkeit verbraucht wird und daß die Elektrolyse verhältnismäßig zu lange Zeit dauern muß.

Wenn man z. B. die zunehmende Zersetzung einer während zwei Stunden geführten Elektrolyse von 15 zu 15 Minuten untersuchen wollte, würde die Gesamtzeit nach obiger Methode 9 Stunden betragen.

Um die Versuche schneller machen zu können, wurde bei den späteren Untersuchungen eine Lösung von ganz gleicher Konzentration, wie die entnommene Probe, bereitet und der Versuchs-

flüssigkeit wieder zugefügt, bevor der Versuch weitergeführt wurde. Es wurde berechnet, wie viele ccm Schwefelsäure  $x$  zu  $q$  ccm der ursprünglichen Lösung zugefügt werden mußte, um die gewünschte Konzentration zu erhalten. Das  $x$  ergibt sich aus folgender Formel:

$$x = q \cdot \frac{a-b}{b}.$$

Dabei bedeutet  $a$  die von  $q$  ccm der ursprünglichen, und  $b$  die von  $q$  ccm der elektrolysierten Lösung verbrauchte Menge Kaliumpermanganat.

Dieses Verfahren bringt wiederum gewisse Versuchsfehler mit sich. Sie erweisen sich aber als ziemlich unbedeutend. Zwei Versuche, die nach den beiden besprochenen Methoden parallel ausgeführt wurden, indem mit der gleichen Anfangskonzentration, der gleichen Stromstärke und während gleich langer Versuchsdauer von 3 Stunden gearbeitet wurde, zeigten eine sehr kleine Differenz in der Endkonzentration, indem 25 ccm der Lösung im ersten Falle 3.55 ccm, im zweiten Falle 3.50 ccm Permanganat reduzierten. Diese Differenz ist so klein, daß sie fast mit den Titrationsfehlern zusammenfällt.

#### c) Berechnung der Versuche.

In den Tabellen bedeutet

$a$  die Anzahl ursprünglich im Gefäß vorhandener Mole,

$x$  die Anzahl der zersetzten und

$a-x$  die nach der Zeit  $t$  (in Minuten ausgedrückt) vorhandenen Mole.

Die Konzentration der mit Permanganat titrierten Oxalsäurelösung wurde berechnet, indem für das Molekulargewicht des zur Titerstellung verwendeten Eisens 56, für das Molekulargewicht der Oxalsäure 126 angenommen wurde.  $a$  und  $a-x$  wurden jeweils so bestimmt, daß aliquote Teile der Lösung titriert wurden;  $x$  erhielt man dann jeweils durch eine einfache Subtraktion.

Wie die verschiedenen Reaktionsgeschwindigkeitskonstanten berechnet werden, wird später beschrieben.

## II. Die speziellen Versuche.

### a) Die Vorversuche.

Zuerst wurden verschiedene Elektrolysen mit blanken Platinelektroden ausgeführt. Die Resultate der Versuche finden sich in Tabelle I zusammengestellt.

Tabelle I.  
Temperatur 35° C.

Konz. der $\text{H}_2\text{SO}_4$ in %	Konz. der $\text{COOH}$ < $\text{COOH}$	Amp. auf 30 ccm ein- seitiger Anodenfläche	Zeitdauer d. Elektrolyse in Stunden	Aliquote Teile der Oxal- säure verbrauchten bei der Titration ccm $\text{KMnO}_4$	
				vor der Elektrolyse	nach der Elektrolyse
30	0.1 n. ca.	3	1	45.30	45.20
30	0.1 n. ca.	1	$\frac{1}{2}$	45.30	45.80
30	0.1 n. ca.	1	1	45.30	45.20
30	0.1 n. ca.	1	2	45.30	45.20
30	0.1 n. ca.	0.3	4	45.30	44.92
30	0.2 n. ca.	0.5	1	21.47	21.33
10	0.1 n. ca.	1	1	49.20	49.00
10	0.5 n. ca.	1	1	40.60	40.05
10	0.5 n. ca.	0.2	1	40.60	39.70
5	0.5 n. ca.	0.7	1	45.10	41.40
2.5	0.5 n. ca.	0.7	1	43.55	39.80

Aus diesen Zahlen geht hervor, daß man mit blanken Elektroden nur eine minimale Zersetzung hervorrufen kann und daß diese Zersetzung durch Änderung der Stromdichte und Konzentration der Schwefelsäure und Oxalsäure nicht in beträchtlichem Maße verändert wird. Dieser Umstand macht es unmöglich, in der obigen Weise eine passende Versuchsreihe anzustellen, an der man den Gesamtverlauf studieren könnte, weil die in einer Stunde zersetzten Mengen so außerordentlich klein sind, daß sie noch innerhalb der Gröfse der Versuchsfehler fallen. Um diesen Übelstand zu vermeiden, wurde versucht, die zersetzten Mengen durch Erhöhung der Reaktionsgeschwindigkeit zu vergrößern und zwar wurde zu diesem Zwecke die Anode platinirt. Ein erster roher Versuch zeigte auch, daß sich ungleich mehr Oxalsäure zersetzt hatte. Es liegt nun allerdings die Möglichkeit vor, daß diese Art der Zersetzung nicht mit der an blanken Elektroden beobachteten identisch ist.

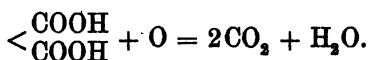
An den blanken Elektroden kann man nicht ohne weiteres unterscheiden, ob die geringe Reaktion der Oxydation der Oxalsäure primärer oder sekundärer Natur ist. Daraus jedoch, daß an den platinirten Elektroden die Reaktion in so außerordentlicher Weise gesteigert wird, folgt, daß dieser Verlauf derselben sekundärer Natur ist. Es ist jedoch nicht ausgeschlossen, daß dabei die



primäre Reaktion mitläuft. Die primäre Zersetzung beträgt aber jedenfalls nicht mehr als an den blanken Elektroden behandelt wurde, ist also nach der obigen Tabelle nur eine minimale.

### b) Ermittlung der Reaktionsordnung.

Die Reaktion kann also in der Hauptsache als eine sekundäre Reaktion aufgefaßt werden, welche sich durch folgendes Schema ausdrücken lassen würde:



Da der Sauerstoff nach dem FARADAY'schen Gesetz entwickelt wird, also bei konstant bleibender Stromstärke stets in gleicher Menge wirksam ist, so lag der Gedanke nahe, daß man es hier mit einer monomolekularen Reaktion zu thun hätte, weil nur die Menge der Oxalsäure geändert wird. Nach den Gesetzen der chemischen Dynamik ist die Geschwindigkeit der monomolekularen Reaktion in jedem Momente porportional der Konzentration des sich veränderten Stoffes und läßt sich ausdrücken durch die Gleichung:

$$\frac{dx}{dt} = k \cdot \text{Konz.} \quad \text{oder} \quad \frac{dx}{dt} = k (a - x).$$

Folgt die Zersetzung wirklich diesem Reaktionsschema, so muß  $k$  für alle Werte von  $a$  und  $x$  konstant sein. Durch Integration der Gleichung erhält man für  $k$

$$(I) \quad k = \frac{1}{t} \int \frac{dx}{(a-x)} = \frac{1}{t} \cdot \ln \frac{a}{a-x}$$

Wie die Tabellen zeigen, hat sich auch das  $k$  als nahezu konstant erwiesen, wenigstens hat man keinen Gang der Werte von  $k$  nachweisen können, d. h. wenn in einem Koordinatensystem die Werte von  $k$  als Ordinate und die Werte von  $t$  als Abscisse aufgetragen werden, so lassen sich die entsprechenden Punkte durch eine zur Abscissenaxe parallele Gerade verbinden. (Fig. 3).

Da es nicht ausgeschlossen war, daß auch andere Gleichungen als die monomolekulare in Betracht kommen könnten, indem Variationen, die vielleicht in den letzten Dezimalen vorkommen, von den Versuchsfehlern verdeckt sein könnten, wurden auch noch andere Reaktionsgleichungen auf ihre Anwendbarkeit auf die Oxalsäure-zersetzung einer Prüfung unterzogen.

Zuerst kam die Gleichung von GOLDSCHMIDT in Betracht. GOLDSCHMIDT hatte bei der Beobachtung einer sekundären Reaktion, der Reduktion von einer Nichtelektrolyten durch elektrolytischen Wasserstoff folgende Gleichung für die Reaktionsgeschwindigkeit gefunden:

$$\frac{dx}{dt} = k (a - x)^{2/3}.$$

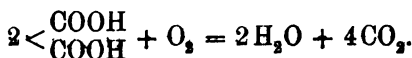
Den Exponenten  $2/3$  führte GOLDSCHMIDT darauf zurück, daß, da die Reduktion in der Fläche stattfindet, nur die Konzentration in der Fläche in Betracht kommt: diese aber ist gleich der  $2/3$ -Potenz der Raumkonzentration.

Durch Integration der GOLDSCHMIDT'schen Gleichung erhält man:

$$(II) \quad k = \frac{1}{t} \int \frac{dx}{(a - x)^{2/3}} = \frac{3}{t} \left( \sqrt[3]{a} - \sqrt[3]{a - k} \right).$$

Versucht man die Werte von  $k$  nach dieser Gleichung zu berechnen, um auf die oben beschriebene Weise in ein Koordinatensystem einzutragen, so lassen sich die entsprechenden Punkte nicht mehr durch eine zur Abscissenaxe parallele Gerade verbinden. Die Werte von  $k$  sinken mit zunehmendem  $t$ .

Der Vollständigkeit halber wurde die bimolekulare Reaktion auch noch berücksichtigt. Denn es wäre möglich, daß der Sauerstoff nach dem folgenden Schema mit der Oxalsäure reagiert.



In diesem Falle müßte die Reaktionsgeschwindigkeit durch folgende Gleichung ausgedrückt sein:

$$\frac{dx}{dt} = k (a - x)^2.$$

Nach Integration der Gleichung berechnet sich  $k$  als

$$(III) \quad k = \frac{1}{t} \int \frac{dx}{(a - x)^2} = \frac{x}{t (a - x) a}.$$

Daß die Reaktion nicht nach dieser Gleichung verläuft, zeigt sich daraus, daß die nach Gleichung (III) berechneten Werte von  $k$  einen Gang aufweisen.

Diese Verhältnisse lassen sich aus den in der Tabelle II zusammengestellten Versuchen in der graphischen Darstellung in Fig. 3 ersehen.

Die Konstanten  $k_1$ ,  $k_{1/2}$  und  $k_2$  entsprechen den Gleichungen (I), (II) und (III). Sie sind die „lokalen Geschwindigkeitskonstanten“<sup>1</sup> und stellen die Reaktionsgeschwindigkeit in einem Beobachtungsintervall (von 15 Minuten) dar.

Tabelle II.

(Mittel aus 4 Versuchen.)

Stromstärke: 1 Amp.

Anfangskonz. der Lösung

$a = 0.05968$  Mol.

Temp. 35° C.

0.1989 n.

in 300 ccm.

$t$	$x$	$a - x$	$k_1$	$k_{1/2}$	$k_2$
90	0.02649	0.03319	—	—	—
105	0.03112	0.02856	0.0100	0.00314	0.3256
120	0.03573	0.02395	0.0117	0.00348	0.4493
135	0.03946	0.02022	0.0118	0.00318	0.5135
150	0.04231	0.01737	0.0101	0.00280	0.5410
165	0.04500	0.01468	0.0112	0.00270	0.7033
180	0.04712	0.01256	0.0104	0.00250	0.7665
195	0.04880	0.01088	0.0096	0.00216	0.8389
210	0.05035	0.00933	0.0102	0.00222	1.018
225	0.05160	0.00808	0.0096	0.00196	1.103
240	0.05284	0.00684	0.0110	0.00218	1.496

(S. Figur 3, S. 17.)

### c) Variation der Anfangskonzentration.

Da man bei gewöhnlicher Temperatur wegen der Schwerlöslichkeit der Oxalsäure in Schwefelsäure keine höhere Konzentration als 0.3 norm. erreichen kann, so sind die Variationen der Anfangskonzentration auf einen ziemlich kleinen Umfang beschränkt. Die Versuche finden sich in den Tabellen II—VI. In der Versuchsreihe III wurde mit einer Anfangskonzentration von 0.0999, in Versuchsreihe VI von 0.2401 gearbeitet.

In Tabelle V ist auch ausgerechnet, wie die Kurve aussehen sollte, wenn das monomolekulare Gesetz die ganze Zeit gelten würde. Es sollte jedoch die theoretisch berechnete, über die ganze Zeit sich erstreckende Kurve in das bisher dazukommende Koordinaten-

<sup>1</sup> Jos. SIEGRIST, *Z. anorg. Chem.* 26, 298.

system so eingezeichnet werden können, daß der letzte Ast der gefundenen Kurve, der ja auch monomolekular läuft, zur Deckung mit der berechneten Kurve gelangt. Daher mußte die theoretische Kurve aus dem monomolekularen Teil der gefundenen Kurve von rückwärts extrapoliert werden, wie dies auch in der Arbeit von

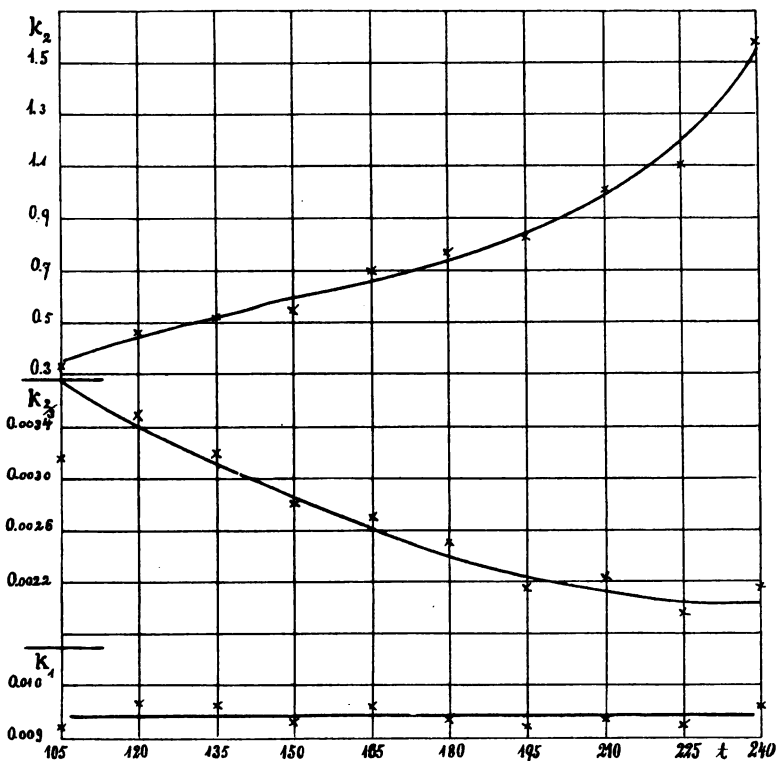


Fig. 3.

SIEGRIST<sup>1</sup> geschehen ist. Das  $x$ , und  $a-x$ , ergeben sich durch Extrapolation aus der Formel:

$$\ln(a-x_1) = \ln a - kt.$$

Als das  $k$  ist die mittlere Konstante genommen, nämlich 0.0103. Die Berechnung ist in demjenigen Punkte angefangen, wo diese Konstante am besten mit der „Lokalkonstante“ übereinstimmt. In diesem Falle trifft dieser Punkt nach 240 Minuten ein.

<sup>1</sup> JOS. SIEGRIST, *Z. anorg. Chem.* 26, 295.

Tabelle III.

(Mittel aus 3 Versuchen.)

Stromstärke: 1 Amp.

Anfangskonz. der Lösung

$a = 0.02999$  Mol.

Temp. 35° C.

0.1 n.

in 300 ccm

$t$	$x$	$a - x$	$k$	
15	0.00431	0.02568	0.0097	} Mittel: 0.0113
30	0.00781	0.02218	0.0113	
45	0.01121	0.01878	0.0108	
60	0.01403	0.01596	0.0119	
75	0.01664	0.01335	0.0123	
90	0.01888	0.01111	0.0124	
105	0.02077	0.00922	0.0106	
120	0.02244	0.00755	0.0111	
135	0.02360	0.00689	0.0110	
150	0.02456	0.00543	0.0106	
165	0.02536	0.00463	0.0100	
180	0.02599	0.00400	0.0118	
195	0.02664	0.00335	0.0119	

Tabelle IV.

(Mittel aus 4 Versuchen.)

Stromstärke: 1 Amp.

Anfangskonz. der Lösung

$a = 0.04185$  Mol.

Temp. 35° C.

0.1395 n.

in 300 ccm

$t$	$x$	$a - x$	$k$	
15	0.00492	0.03693	0.0083	} Mittel: 0.0116
30	0.00921	0.03264	0.0082	
45	0.01349	0.02836	0.0094	
60	0.01826	0.02359	0.0123	
75	0.02213	0.01972	0.0119	
90	0.02520	0.01665	0.0113	
105	0.02779	0.01406	0.0113	
120	0.03022	0.01163	0.0126	
135	0.03199	0.00986	0.0110	
150	0.03361	0.00824	0.0119	
165	0.03490	0.00695	0.0114	
180	0.03611	0.00574	0.0128	
195	0.03692	0.00493	0.0101	

Tabelle V.  
(Mittel aus 4 Versuchen.)  
Anfangskonz. der Lösung  
0.199 n.

Stromstärke: 1 Amp.  
Temp. 35° C.

$\alpha = 0.05968$  Mol.  
in 300 ccm

$t$	$x$	$\alpha - x$	$x$ theoretisch nach FARA- DAY's Gesetz	$x_1$	$\alpha - x_1$	$k$
15	0.00140	0.05528	0.00466	—	—	0.0051
30	0.00873	0.05095	0.00932	0.00010	0.05958	0.0054
45	0.01816	0.04652	0.01398	0.00863	0.05105	0.0061
60	0.01724	0.04244	0.01865	0.01594	0.04374	0.0061
75	0.02205	0.03763	0.02331	0.02220	0.03748	0.0080
90	0.02649	0.03319	0.02797	0.02757	0.03211	0.0084
105	0.03112	0.02856	0.03263	0.03216	0.02752	0.0100
120	0.03573	0.02395	0.03729	0.03610	0.02358	0.0117
135	0.03946	0.02022	0.04196	0.03948	0.02020	0.0113
150	0.04231	0.01737	0.04662	0.04237	0.01731	0.0101
165	0.04500	0.01468	0.05128	0.04485	0.01483	0.0112
180	0.04712	0.01256	0.05594	0.04697	0.01271	0.0104
195	0.04880	0.01088	0.06061	0.04879	0.01089	0.0096
210	0.05035	0.00933	0.06526	0.05035	0.00933	0.0102
225	0.05160	0.00808	0.06993	0.05169	0.00799	0.0096
240	0.05284	0.00684	0.07459	0.05283	0.00685	0.0110
255	0.05372	0.00596		0.05383	0.00587	0.0093
285	0.05532	0.00436		0.05537	0.00431	0.0104
315	0.05642	0.00326		0.05652	0.00316	0.0097
345	0.05728	0.00240		0.05736	0.00232	0.0101

Mittel:  
0.0103

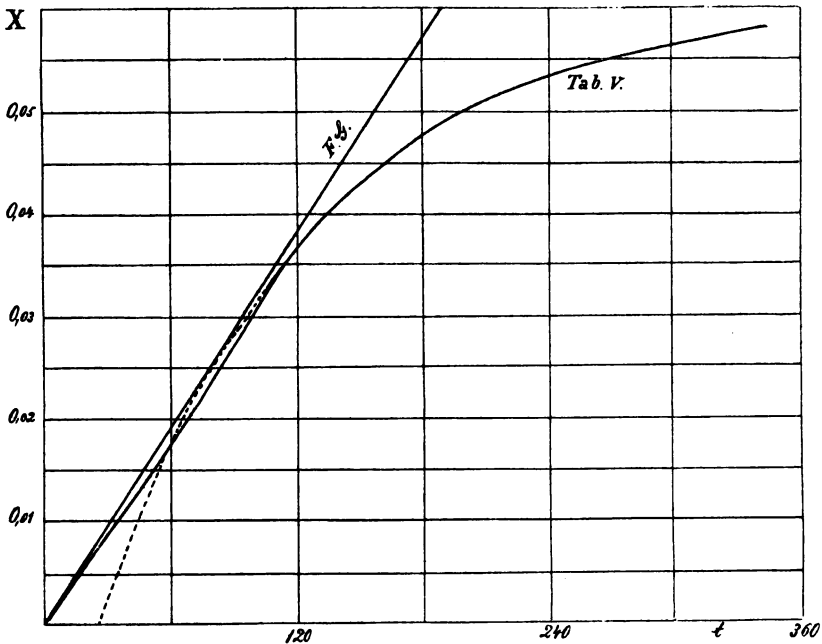


Fig. 4.

Die gerade Linie stellt dar, wie die Oxydation verlaufen würde, wenn sie dem FARADAY'schen Gesetze vollständig entsprechen würde, d. h. wenn beim Durchgang von 96540 Coulombs durch den Elektrolyten  $\frac{1}{2}$  Mol.  $\text{COOH}$  oxydiert würde. In Tabelle V sind die Werte von  $x$  nach FARADAY's Gesetz ausgerechnet.

In Fig. 4 ist diese theoretisch berechnete Kurve durch die punktierte Linie angegeben.

Tabelle VI.

(Mittel aus 2 Versuchen.)

Stromstärke: 1 Amp.  
Temp. 35° C.

Anfangskonz. der Lösung  
0.2409 n.

$a = 0.07288$  Mol.  
in 300 ccm

$t$	$x$	$a - x$	1. $a - x$ in ccm $\text{KMnO}_4$	2. $a - x$ in ccm $\text{KMnO}_4$	Mittel $a - x$ in ccm $\text{KMnO}_4$	$k$
30	0.00893	0.06395	39.60	39.55	39.57	0.0035
45	0.01195	0.06093	37.25	36.90	37.07	0.0044
60	0.01697	0.05591	34.50	34.70	34.60	0.0045
75	0.02162	0.05126	31.80	31.65	31.72	0.0057
90	0.02602	0.04686	29.05	28.95	29.00	0.0060
105	0.03054	0.04234	26.20	26.20	26.20	0.0068
120	0.03520	0.03768	23.40	23.25	23.32	0.0078
135	0.03943	0.03345	20.60	20.80	20.70	0.0079
150	0.04387	0.02901	17.90	18.00	17.95	0.0110
165	0.04812	0.02476	14.95	15.00	14.97	0.0106
180	0.05276	0.02012	12.50	12.40	12.45	0.0123
195	0.05589	0.01699	10.60	10.40	10.50	0.0114
210	0.05882	0.01406	8.70	8.70	8.70	0.0125
225	0.06105	0.01183	7.30	7.35	7.32	0.0115
240	0.06307	0.00981	6.10	6.05	6.07	0.0125
255	0.06464	0.00824	5.10	5.10	5.10	0.0116
270	0.06601	0.00687	4.25	4.25	4.25	0.0122
300	0.06795	0.00493	3.10	3.00	3.05	0.0111
330	0.06932	0.00356	2.30	2.10	2.20	0.0101
350	0.07021	0.00267	1.70	1.60	1.65	0.0100

Mittel:  
0.0114

Um zu zeigen, wie im allgemeinen zwei Versuche mit einander stimmen, sind in Tabelle VI die experimentell gefundenen Werte von  $a - x$  (in ccm  $\text{KMnO}_4$ ) von beiden Versuchen angegeben.

Die Versuche Tab. III, IV, V und VI werden durch folgende Kurvenzeichnung wiedergegeben. (Fig. 5.)

Es zeigt sich, daß die Kurven zuerst fast geradlinig gehen, obgleich die Neigung zu der, das FARADAY'sche Gesetz darstellenden Geraden, verschieden ist. Wenn die Lösung eine bestimmte Konzentration erhalten hat, dann wendet sich die Kurve ziemlich deut-

lich vom FARADAY'schen Gesetz ab und das monomolekulare Gesetz beginnt. Als Biegungspunkt ist immer diejenige Konzentration angenommen, wo das  $k$  anfängt konstant zu werden. Wie die Versuche Tab. III, IV, V und VI zeigen, sind dafür verhältnismässig übereinstimmende Werte gefunden, nämlich die resp. Konzentrationen

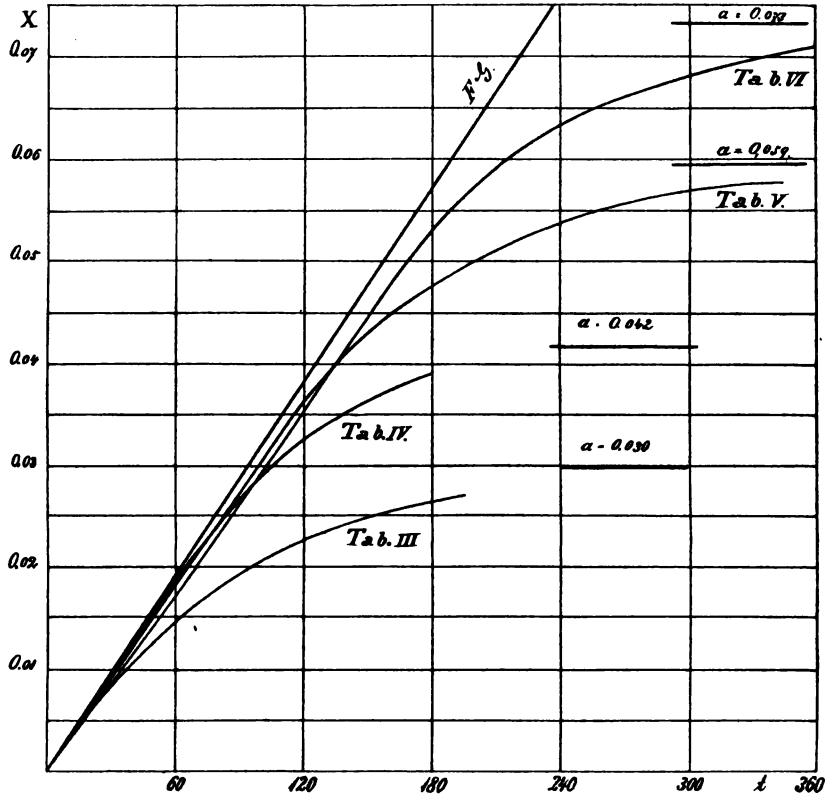


Fig. 5.

0.86, 0.79, 0.95 und 0.95 normal. Eine große Genauigkeit ist hierbei natürlich nicht zu erwarten, da die Proben nur alle 15 Minuten genommen sind, und es deswegen möglich sein kann, daß die Biegungspunkte etwas später oder früher eintreten.

Weil die Winkelabweichungen, die die geradlinigen Teile der Kurven bei verschiedenen Anfangskonzentrationen untereinander machen, sehr klein sind, ist es sehr schwierig eine Gesetzmäßigkeit aus denselben heraus zu finden. Doch scheint aus den Versuchen hervorzugehen, daß bei niedriger Anfangskonzentration die Linie



sich dem FARADAY'schen Gesetze mehr nähert als bei größeren Anfangskonzentrationen. Hieraus müßte sich allerdings ein eigentümliches Verhalten für den an der Asymptote des FARADAY'schen Gesetzes ansteigende, sog. geradlinigen Ast der Kurve ergeben. Es würde folgende Eigentümlichkeit eintreten müssen: indem bei größerer Anfangskonzentration die Abweichung in den ersten Stadien der Elektrolyse von FARADAY's Gesetz größer ist, müßte sich dieselbe während des Verlaufes der Elektrolyse allmählich vermindern, indem durch den elektrolytischen Verbrauch an Oxalsäure sich die Konzentration der Elektrolyten vermindert. Da nun bei geringerer Konzentration die Abweichung von FARADAY's Gesetz eine geringere zu sein strebt, so müßte sich der sogenannte geradlinige Ast der Kurve allmählich gegen die das FARADAY'sche Gesetz darstellende Asymptote bei wachsendem Verlaufe der Elektrolyte krümmen. In der That kann man bei Anlegung eines Lineals an die erhaltenen Kurven eine solche Krümmung wahrnehmen.

#### d) Variation der Stromdichte.

Um den Einfluß der Stromdichte feststellen zu können, wurden die Versuchsreihen, welche bis dahin ausschließlic bei 1 Amp. ausgeführt waren, nunmehr im Folgenden auch bei 0.5, 1.2 und 2 Amp. gemacht.

Die Versuchsergebnisse finden sich in den Tabellen VII, VIII und IX, sowie in Fig. 6 zusammenstellt.

Tabelle VII.

(Mittel aus 2 Versuchen.)

Stromstärke: 1 Amp.  
Temp. 35° C.

Anfangskonz. der Lösung  
0.1395 n.

$a = 0.04185$  Mol.  
in 300 ccm

$t$	$x$	$a - x$	$k$
30	0.00485	0.03700	0.0041
60	0.00921	0.03264	0.0042
90	0.01373	0.02812	0.0050
120	0.01850	0.02335	0.0062
150	0.02327	0.01858	0.0075
180	0.02797	0.01388	0.0097
210	0.03224	0.00961	0.0123
240	0.03506	0.00679	0.0116
270	0.03724	0.00461	0.0129
300	0.03859	0.00326	0.0117
330	0.03951	0.00234	0.0110

Mittel:  
0.0115

Tabelle VIII.

(Mittel aus 2 Versuchen.)

Stromstärke: 1.2 Amp.  
Temp. 35° C.

Anfangskonz. der Lösung  
0.1540 n.

$a = 0.04622$  Mol.  
in 300 ccm

$t$	$x$	$a - x$	$k$	
15	0.00436	0.04186	0.0066	$\left. \begin{array}{l} \\ \\ \\ \\ \\ \end{array} \right\} \text{Mittel: } 0.0111$
30	0.01050	0.03572	0.0108	
45	0.01584	0.03038	0.0108	
60	0.02117	0.02505	0.0129	
75	0.02554	0.02068	0.0128	
90	0.02885	0.01737	0.0116	

Tabelle IX.

(Mittel aus 2 Versuchen.)

Stromstärke: 2 Amp.  
Temp. 35° C.

Anfangskonz. der Lösung  
0.1395 n.

$a = 0.04185$  Mol.  
in 300 ccm

$t$	$x$	$a - x$	$k$	
15	0.00711	0.03474	0.0124	$\left. \begin{array}{l} \\ \\ \\ \\ \\ \\ \end{array} \right\} \text{Mittel: } 0.0117$
30	0.01244	0.02941	0.0111	
45	0.01681	0.02504	0.0107	
60	0.02036	0.02149	0.0102	
75	0.02359	0.01826	0.0109	
90	0.02650	0.01535	0.0115	
100	0.02876	0.01309	0.0106	

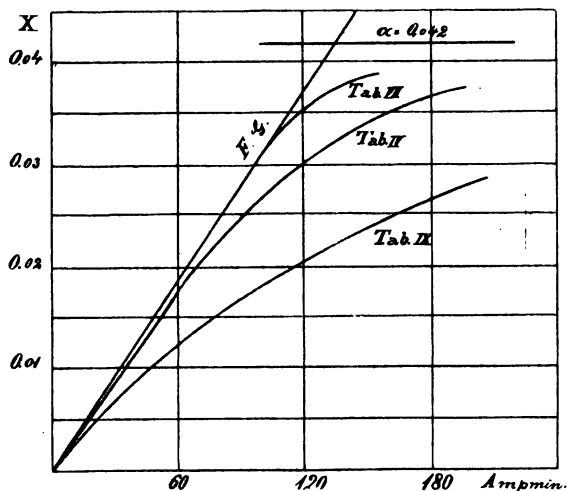
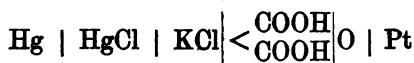


Fig. 6.

Unter denselben Versuchsbedingungen wie bei obigen Versuchen sind zwei Messungen der anodischen Spannung ausgeführt worden. Dabei wurden zuerst versucht, die Ausschläge des Galvanometers bei Abbrechen des Stromes und so die Polarisierung zu messen. Dieses Verfahren zeigte sich aber als nicht anwendbar, weil wegen der rapid sinkenden Polarisierung keine konstanten Ausschläge zu erhalten waren. Deswegen mußten die Polarisationsmessungen während des Stromdurchganges gemacht werden.

Dieses hatte aber zur Folge, daß nicht nur die Kette  $\begin{matrix} \text{COOH} \\ < \\ \text{COOH} \end{matrix} | \text{O} | \text{Pt}$ , sondern auch ein Teil der Klemmenspannung  $i w = e$  mitgemessen wurde. Da dieser konstant ist und es bei vorliegenden Versuchen sich nur darum handelt, die Änderungen des Potentials zu bestimmen, so war diese Methode vollständig genügend.

Mittels der Hilfselektrode:  $\text{Hg} | \text{HgCl} | \text{KCl}$ , wurde also die Kette:



samt dem  $i w$  gemessen. Um zu vermeiden, daß die Flüssigkeit der Hilfselektrode sich mit der Oxalsäurelösung vermische, wurde ein Gefäß mit Schwefelsäure und Oxalsäure gefüllt, dazwischen gestellt. Infolge dieser Anordnung war es aber nicht zu vermeiden, daß sich eine Konzentrationskette bildete, weil im Elektrolyisiergefäß der Gehalt an Oxalsäure sich immer änderte, während im Zwischengefäß die Konzentration konstant blieb. Um die Einwirkung jenes Unterschiedes zu verkleinern, wurde der Gehalt an Oxalsäure im Zwischengefäß so gewählt, daß man ein Mittel der Anfangs- und Endkonzentration der zu elektrolysierenden Lösung nahm. Die Gefäße waren miteinander durch einen Heber verbunden, welcher mit Membranen von Pergamentpapier versehen war. Da die elektromotorische Kraft der Hilfselektrode bekannt war und die Flüssigkeitskette  $\text{KCl} | \begin{matrix} \text{COOH} \\ < \\ \text{COOH} \end{matrix}$  samt der oben besprochenen Konzentrationskette ihrer minimalen Größe wegen nicht ins Gewicht fallen, so stellt sich die Differenz der gemessenen E.M.K. und der E.M.K. der Hilfselektrode als die Summe aus Anodenpotential und  $i w$  dar. (Tab. X.)

Diese Messungen haben keinen Anspruch, absolute Werte geben zu können, weil der Widerstand der Kette und damit das  $i w$  während der verschiedenen Versuche dadurch geändert wurde, daß der Platz des Hebers im Elektrolyisiergefäß nicht immer derselbe war.

Mit diesen Untersuchungen sollten auch nur die Änderungen des Potentials konstatiert werden, welche beweisen, daß bei einer bestimmten Konzentration von Oxalsäure die elektromotorische Kraft sehr stark ansteigt.

In Fig. 7 sind sowohl die zersetzten Mengen  $x$ , als auch die Potentiale  $V$  als Funktionen von  $t$  aufgetragen. Da die entsprechenden Messungen unter ganz gleichen Bedingungen ausgeführt wurden, so mußte nach Verlauf von gleichen Zeiten dieselben Konzentrationen im Elektrolysiergefäße erreicht werden. Es zeigt sich nun, daß für dieselbe Werte von  $t$  an den Funktionskurven von  $x$  und  $V$  eine Abbiegung auftritt. Die beiden Versuche, welche in Fig. 7 dargestellt sind, zeigen sehr schön, daß gerade dann ein starkes Steigen der Anodenpotentiale eintritt, wenn die Reaktion dem monomolekularen Gesetze zu folgen beginnt. Dieses tritt also auf im Zusammenhange mit den Zersetzungspunkten an der Anode. Welche Zersetzungspunkte hierbei beteiligt waren, konnte nicht direkt ermittelt werden.

Tabelle X.

$t$	Versuch Tab. IV Volt	Versuch Tab. VI Volt	$t$	Versuch Tab. IV Volt	Versuch Tab. VI Volt
5	1.440	1.458	125	2.310	1.740
10	1.440	1.466	120	2.315	1.770
15	1.445	1.472	135	2.320	1.775
20	1.445	1.480	140	2.334	2.004
25	1.451	1.483	145	2.334	2.052
30	1.445	1.490	150	2.342	2.077
35	1.469	1.498	155	2.342	2.093
40	1.469	1.503	160	2.350	2.120
45	1.483	1.521	165	2.350	2.136
50	1.499	1.538	170	2.350	2.155
55	1.516	1.538	175	2.350	2.164
60	1.582	1.538	180	2.350	2.186
65	1.800	1.538	185	2.350	2.200
70	1.926	1.547	190	—	2.200
75	2.070	1.554	195	—	2.206
80	2.158	1.578	200	—	2.206
85	2.176	1.580	205	—	2.206
90	2.203	1.590	210	—	2.206
95	2.214	1.607	215	—	5.243
100	2.240	1.614	220	—	2.243
105	2.254	1.616	225	—	2.243
110	2.283	1.648	230	—	2.246
115	2.291	1.668	235	—	2.255
120	2.305	1.703	240	—	2.264

Aus den Untersuchungen von dem Einflusse der Stromdichte ergibt sich:

1. Bei niedriger Stromdichte nähert sich der geradlinige Teil der Kurve FARADAY's Gesetz, sodaß bei einer Stromstärke von beispielsweise 0.5 Amp. die Zersetzung vollständig nach dem FARADAY'schen Gesetz erfolgt.

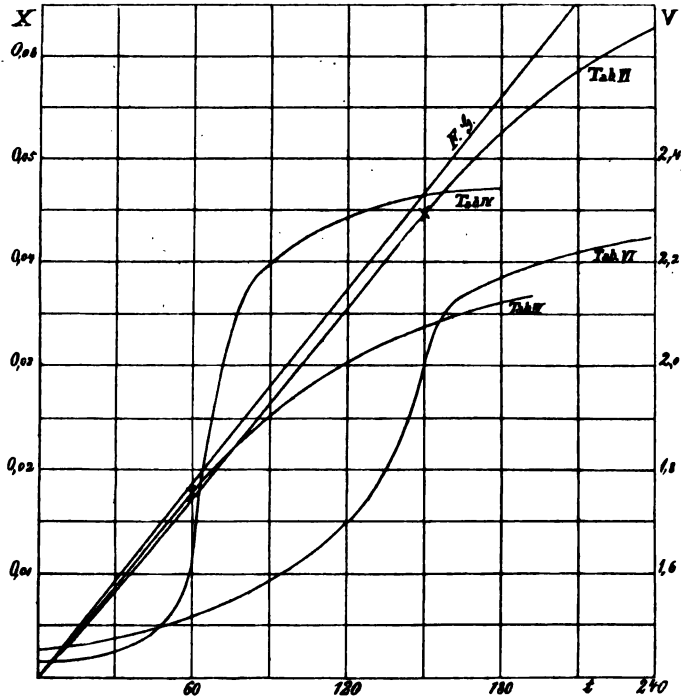


Fig. 7.

2. Nach einer gewissen Zeit verläuft die Reaktion nicht nur monomolekular, sondern die Geschwindigkeitskonstante ist bei verschiedenen Stromdichten immer gleich groß.<sup>1</sup>

3. Der Übergang von dem geradlinigen Teile der Kurve in das monomolekulare Gesetz tritt bei niedrigerer Stromstärke später ein.

Bei allen vorliegenden Beobachtungen tritt das monomolekulare Gesetz außerordentlich scharf und fast plötzlich auf, sodaß es sich beinahe unmittelbar aus dem geradlinigen Teil der Kurve herausentwickelt,

<sup>1</sup> Bei der von SIEGRIST untersuchten Kupferabscheidung steigt die Geschwindigkeitskonstante ungefähr prop. der Stromdichte.

auch wenn dieser mit dem FARADAY'schen Gesetz zusammenfällt. Eine Übergangserscheinung ist innerhalb der Beobachtungen nicht deutlich zu bemerken, und es scheint dieses Verhalten im Gegensatz zu den Erscheinungen bei den primären Reaktionen zu stehen, wie sie von SIEGRIST<sup>1</sup> beobachtet wurden. Hiernach verhält sich der Verlauf der Elektrolyse der Oxalsäure so, als wenn die gefundenen Kurven keinem einheitlichen Gesetze unterworfen wären, sondern als würden sie zwei verschiedenen Gleichungen

$$\frac{dx}{dt} = k'J \text{ und } \frac{dx}{dt} = k(a-x)$$

gehörten. In Bezug auf die erste Gleichung ist jedoch zu bemerken, daß sie nur annähernd gilt, weil ja das  $k'$  mit der Stromstärke sich ein ganz klein wenig ändert. (Fig. 6.) Ferner wird das auch durch die scharfe Steigung des Potentials im Übergangspunkt von dem geradlinigen Teile der Kurve in das monomolekulare Gesetz bestätigt, daß hier zwei verschiedene Versuchsbedingungen vorhanden sein müssen, welche durch die beiden Gleichungen ihren Ausdruck finden.

Wenn nun die zwei Gleichungen

$$\frac{dx}{dt} = k'J \text{ und } \frac{dx}{dt} = k(a-x)$$

gelten, so muß im Übergangspunkte  $k'J = k(a-x)$  da sein. Daraus ergibt sich  $\frac{J}{a-x} = \frac{k}{k'} = K$ , oder daß in diesem Punkte die Stromstärke dividiert durch die Konzentration eine konstante Zahl ist. Dies aber ist die Gleichung von F. Haber, welche dieser bei der Reduktion von Nitrobenzol geprüft hat. Aus dieser Gleichung ergibt sich auch, daß bei niedriger Stromstärke der Übergangspunkt später eintreten muß, d. h. erst dann, wenn eine niedrigere Konzentration erreicht ist.

Da  $\frac{J}{a-x} = K$  ist, so muß ein kleineres  $J$  auch ein kleineres  $(a-x)$  erfordern.

Die Gleichung wurde experimentell geprüft, und zwar hat man, trotz der kleinen Änderung von  $k'$ , ziemlich konstante Werte bekommen, wie Tab. XI zeigt.

<sup>1</sup> Seite 1.

Tabelle XI.

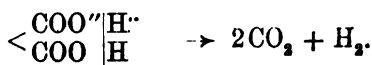
$J$	$a - x$	$K$
0.5	0.46	1.2
1.0	0.89	1.1
1.2	1.19	1.0

Dafs die Elektrolyse von Oxalsäure mit platinierter Elektrode ein rein chemischer Vorgang ist, dafür spricht folgende Überlegung.

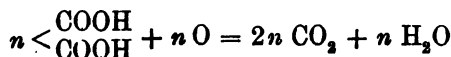
Es hat sich bei den Vorversuchen gezeigt, dafs die Zersetzung bei blanken Elektroden ganz unbedeutend ist, dagegen aber dafs durch eine Platinierung der Elektrode die Ausbeute viel gröfser wird. Wäre die Reaktion von primärer Art, so würde diese Platinierung ohne Bedeutung sein, indem man sich kaum vorstellen kann, dafs mit einer gleichen Strommenge z. B. mehr Kupfer auf einer platinieren, wie auf einer blanken Elektrode ausgeschieden würde; ebenso wenig kann man sich denken, dafs die primäre Zersetzung von der Platinierung abhängig sein könnte. Da nun von dem Platinmoor die Reaktionsgeschwindigkeit bedeutend vergrößert wird, so mufs dem ein sekundärer Vorgang zu Grunde liegen, der darin besteht, dafs Sauerstoff bei Gegenwart von dem kathalytisch einwirkenden Platinmoor auf Oxalsäure rein chemisch einwirkt.

Denkt man sich die Reaktion in chemischer Weise ausgedrückt, so könnte man sich vorstellen, dafs Sauerstoff, irgendwie chemisch dargestellt von einem platinieren Platinblech ausströmen würde und auf die Oxalsäure einwirken könne. Die Zersetzung wäre dann nur abhängig von der Oberfläche des Platinmoors, vorausgesetzt, dafs dieses mit Sauerstoff gesättigt wäre, denn würde man mehr oder weniger zuführen, so würde auch nur ein konstanter Teil reagieren, und das übrige entweichen. Die zersetzten Mengen und die Reaktionsgeschwindigkeitskonstante müssen also immer dieselbe sein. Nun ist aber das oben beschriebene nichts anderes als bei der Elektrolyse die Erhöhung der Stromdichte, welche wie die Versuche gezeigt haben, keine Änderung der Konstante hervorruft. Also ist aus diesen Gründen auch anzunehmen, dafs die Zersetzung von Oxalsäure elektrochemisch ausgeführt ein ähnlicher Vorgang sei und nur darin besteht, dafs elektrolytisch entwickelter Sauerstoff auf Oxalsäure rein chemisch einwirkt.

Man darf sich also die Reaktion nicht als eine nach dem Schema



verlaufende elektrolytische Zersetzung vorstellen, sondern muß ihr die chemische Gleichung:



zu Grunde legen. Da diese Reaktion sich als monomolekular ergeben hat, so folgt, daß  $n = 1$  ist, und daß der Sauerstoff sich dabei atomistisch bethätigt.

Es wäre naheliegend die kleinen Abweichungen vom FARADAY'schen Gesetz auf eine Bildung von Wasserstoffsuperoxyd oder Überschwefelsäure zurückzuführen. Durch eine qualitative Prüfung mit Eisensulfat, Jodkalium und Stärkekleister liefs sich jedoch kein Wasserstoffsuperoxyd oder Überschwefelsäure nachweisen.

Die Erklärung muß deshalb anders gefaßt werden. Es wurde früher gefunden, daß das Potential bis zum Knickpunkt ganz allmählich ansteigt. Die Ursache ist im teilweisen Entweichen des Sauerstoffs zu suchen. Wir können annehmen, daß durch Verarmungen der Lösung in unmittelbarer Nähe der Elektrode der nach dem FARADAY'schen Gesetz entwickelte Sauerstoff nicht vollständig zur Oxydation verwendet werden kann und deshalb teilweise entweichen muß.

Solche Verarmungen sind darauf zurückzuführen, daß die Geschwindigkeit des Rührers nicht genügend stark gewesen ist, um eine überall gleichmäßige Konzentration im Gefäße zu erzielen. Diese Annahme wird auch dadurch bestätigt, daß bei höherer Temperatur, wo die Diffusionsgeschwindigkeit größer ist, die Abweichung von FARADAY's Gesetz ganz unbedeutend wird, wie die Tabelle XIV zeigt. Bei niedriger Stromdichte wird auch die Abweichung kleiner, weil hier die Konzentrationsverminderung an Oxalsäure in der Nähe der Elektrode nicht den Punkt erreicht hat, daß Sauerstoff entweichen mußte. Bei kleinerer Anfangskonzentration kommt man FARADAY's Gesetz näher, trotzdem nach dem Diffusionsgesetzen das umgekehrte zu erwarten wäre, weil die Diffusionsgeschwindigkeit und dabei der Konzentrationsausgleich an der Elektrode bei konzentrierteren Lösungen größer sein sollte. Dies könnte aber so aufgefaßt werden, daß durch die Überführung eine Entmischung von Schwefelsäure und Oxalsäure an der Elektrode eintritt, welche



mit einer Schichtenbildung verbunden ist. Nun kann man sich z. B. bei dem bekannten Experiment von NERNST<sup>1</sup> bezüglich der absoluten Wanderungsgeschwindigkeit von  $\text{MnO}_4^-$ -Ionen leicht überzeugen, daß die Grenzschicht, in welcher sich die beiden Lösungen berühren, und in der die Wanderung vor sich geht, um so schärfer ausgebildet bleibt, je konzentrierter die Permanganatlösung ist. Einen solchen Vorgang kann man auch bei der Schichtenbildung zwischen Schwefelsäure und Oxalsäure annehmen, und dabei würde es kein Widerspruch sein, daß bei niedriger Konzentration, wenn auch hier die Diffusionsgeschwindigkeit kleiner ist, das FARADAY'sche Gesetz an der Elektrode für die Oxalsäurezersetzung dennoch eher erfüllt ist als bei höheren Konzentrationen, weil im letzteren Falle die Diffusionskraft größer ist, aber vermöge der Ausbildung einer deutlicheren Schicht die Entweichung ebenfalls gesteigert ist. Hierdurch würde der Einfluß der Diffusionskraft wieder kompensiert und resp. durch die Schichtenbildung völlig aufgehoben, wodurch dennoch die Verarmung der Elektrolyte bei konzentrierten Lösungen größer sein kann als bei verdünnten.

#### e) Variation der Temperatur.

Bei den folgenden Versuchen wurde bei sonst gleichbleibenden Verhältnissen die Temperatur in Intervallen von je  $10^\circ \text{C}$ . variiert.

Die Versuche bei  $15^\circ$  und  $25^\circ \text{C}$ . wurden so ausgeführt, daß eine Abkühlungsvorrichtung getroffen wurde, die in einigen Windungen von Glasröhren, durch welche kaltes Wasser strömte, bestand. Dadurch war es möglich den Thermostaat auf einer niedrigeren Temperatur als die der Umgebung konstant zu halten. Bei  $55^\circ$  hat eine konstant brennende zweite Flamme neben der regulierenden unter dem Thermostaat gestanden.

Die Versuche sind in den Tabellen XII—XIV mit zugehöriger Kurvenzeichnung Fig. 8 mitgeteilt.

Aus diesen Versuchen ergibt sich, daß die Abweichungen vom FARADAY'schen Gesetz im geradlinigen Teil der Kurve mit steigender Temperatur kleiner werden, daß ferner das monomolekulare Gesetz später, d. h. bei niedrigerer Konzentration eintritt, weil das  $k$  in der

<sup>1</sup> NERNST, *Zeitschr. Elektrochem.* 3, 808.

Tabelle XII.

(Mittel aus 2 Versuchen.)

Stromstärke: 1 Amp.      Anfangskonz. der Lösung       $\alpha = 0.03038$  Mol.  
Temp. 15° C.              0.1013 n.              in 300 ccm

$t$	$x$	$\alpha - x$	$k$	
15	0.00194	0.02844	0.0044	} Mittel: 0.0048
30	0.00404	0.02634	0.0049	
45	0.00598	0.02440	0.0051	
60	0.00760	0.02278	0.0047	

Tabelle XIII.

(Mittel aus 2 Versuchen.)

Stromstärke: 1 Amp.      Anfangskonz. der Lösung       $\alpha = 0.03038$  Mol.  
Temp. 25° C.              0.1013 n.              in 300 ccm

$t$	$x$	$\alpha - x$	$k$	
15	0.00355	0.02683	0.0083	} Mittel: 0.0082
30	0.00682	0.02376	0.0081	
45	0.00937	0.02101	0.0082	
60	0.01180	0.01858	0.0082	

Tabelle XIV.

(Mittel aus 2 Versuchen.)

Stromstärke: 1 Amp.      Anfangskonz. der Lösung       $\alpha = 0.03022$  Mol.  
Temp. 45° C.              0.1007 n.              in 300 ccm

$t$	$x$	$\alpha - x$	$k$	
15	0.00469	0.02553	0.0112	} Mittel: 0.0154
30	0.00905	0.02117	0.0125	
45	0.01341	0.01681	0.0153	
60	0.01681	0.01341	0.0151	
75	0.01955	0.01067	0.0153	
90	0.02182	0.00840	0.0153	

Tabelle XV.

(Mittel aus 2 Versuchen.)

Stromstärke: 1 Amp.

Anfangskonz. der Lösung

$a = 0.03022$  Mol.

Temp.  $55^{\circ}$  C.

0.1007 n.

in 300 ccm

$t$	$x$	$a - x$	$k$
45	0.01842	0.01680	—
60	0.01761	0.01261	0.0192
75	0.02069	0.00958	0.0186
90	0.02295	0.00727	0.0180
105	0.02478	0.00549	0.0187
120	0.02610	0.00412	0.0192

Mittel:  
0.0187

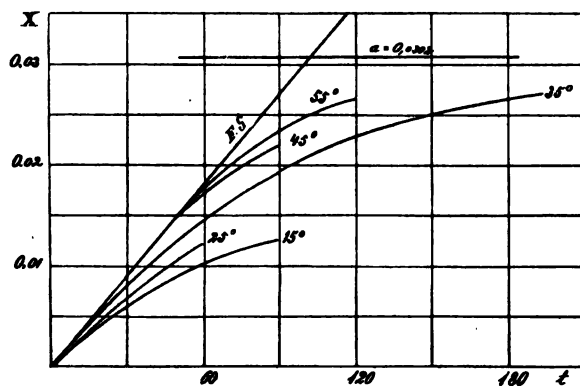


Fig. 8.

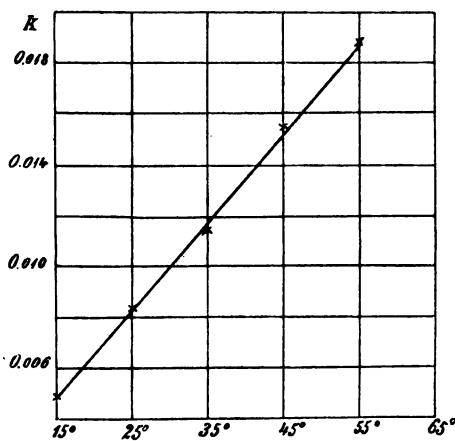


Fig. 9.

Gleichung:  $\frac{J}{a-x} = \frac{k}{k'}$  größer geworden ist.  $k'$  und  $J$  sind konstant, also wird die Konzentration kleiner und der Knickpunkt wird höher liegen. Weiter ergibt sich, daß die Reaktionsgeschwindigkeitskonstante innerhalb dem untersuchten Intervall (von 15—55°) wie bei der Arbeit von SIEGRIST ungefähr proportional mit der Temperatur ansteigt. (Fig. 9.)

### Die Resultate.

Die Resultate vorliegender Arbeit lassen sich wie folgt zusammenfassen:

1. Bei der Elektrolyse von Oxalsäure in Schwefelsäurelösung mit blanken Platinelektroden erfährt die Oxalsäure nur in sehr geringen, kaum wahrnehmenden Mengen eine Elektrolyse.

2. Durch Anwendung platinierter Anoden wird die Oxalsäure zersetzt; hieraus hauptsächlich läßt sich der Schlufs ziehen, daß die Reaktion ein sekundärer Vorgang ist, d. h. daß die Oxalsäurezerersetzung eine rein chemische Wirkung des elektrolytisch entwickelten Sauerstoffes ist.

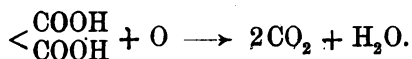
3. Die Reaktion kann je nach der Konzentration nach zwei Gesetzen erfolgen. Ist der Gehalt an Oxalsäure groß, so geschieht die Zersetzung annähernd nach FARADAY's Gesetz oder unter gewissen günstigen Bedingungen, nämlich bei niedrigerer Stromdichte und höherer Temperatur vollständig nach demselben. Hat aber die Lösung eine gewisse Verdünnung erreicht, so erfolgt die Elektrolyse nach dem monomolekularen Gesetze

$$\frac{dx}{dt} = k(a-x).$$

Zwischen diesen beiden Grenzen findet ein ziemlich scharfer Übergangspunkt statt.

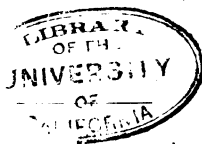
4. Der Übergangspunkt ist von der Stromdichte abhängig in der Weise, daß bei weniger Stromdichte das monomolekulare Gesetz später eintritt.

5. Da die Reaktion monomolekular ist, kann der Sauerstoff nicht als Molekül  $O_2$ , sondern muß als Atom  $O$  reagieren. Die Reaktion folgt also dem Schema



6. Die Konstante  $k$  ist von der Stromdichte unabhängig. Aus diesem Umstande läßt sich auch der Schluß ziehen, daß die Reaktion sekundärer und chemischer Natur ist.

7. Die Reaktionsgeschwindigkeitskonstante ändert sich innerhalb der Grenzen von  $15-55^\circ C$ . ungefähr proportional der Temperatur.







YC 21457

QD561  
A2

161634

Akerberg



